Introdução à Física do Estado Sólido

Lucy V. C. Assali

Faixas de Energia

O modelo do gás de elétrons livres para metais nos dá uma boa ideia sobre a capacidade térmica, as condutividades elétrica e térmica, etc. No entanto, este modelo falha em nos ajudar a entender a grande distinção entre metais, semimetais, semicondutores e isolantes, além de não ser capaz de explicar a ocorrência de coeficientes Hall positivos. A diferença entre um bom condutor e um bom isolante é tremenda. A resistividade elétrica de um metal puro é tão baixa quanto $10^{-10} \, \Omega \mathrm{cm}$ ($T=1 \mathrm{K}$), enquanto que a resistividade de um bom isolante pode ser tão alta quanto $10^{22}\Omega cm$. O intervalo de 10^{32} deve ser o maior entre todas as propriedades físicas de um sólido. Para entender a diferença básica entre condutores e isolantes devemos estender o modelo do elétron livre para levar em conta a periodicidade da rede.

Faixas de Energia: Teorema de Bloch

As autofunções da eq. de Schrödinger para um potencial periódico

$$U(\vec{r}) = U(\vec{r} + \vec{\ell})$$

com $\vec{\ell}$ sendo um vetor de translação do cristal, é o produto de uma onda plana por uma função $u_{\vec{k}}(\vec{r})$ que tem a periodicidade do potencial:

$$\Psi_{ec{k}}(ec{r}) = e^{i\,ec{k}\cdotec{r}} u_{ec{k}}(ec{r})$$
 (Funções de Bloch)

Desse modo, a eq. de Schrödinger no espaço recíproco fica:

$$\left\{ \frac{\hbar^2}{2m} (\vec{k} - \vec{G})^2 - \varepsilon \right\} C_{\vec{k} - \vec{G}} + \sum_{\vec{G}'} U_{\vec{G}' - \vec{G}} C_{\vec{k} - \vec{G}'} = 0$$

onde $\vec{G}=m_1\vec{b_1}+m_2\vec{b_2}+m_3\vec{b_3}$ são os vetores de translação da rede no espaço recíproco e \vec{k} são vetores da rede recíproca contidos na 1ª ZB

Faixas de Energia: Teorema de Bloch

$$\begin{cases} \frac{\hbar^2}{2m} (\vec{k} - \vec{G})^2 - \varepsilon \\ + \sum_{\vec{G}'} U_{\vec{G}' - \vec{G}} C_{\vec{k} - \vec{G}'} = 0 \end{cases}$$

 $\begin{cases} \frac{\hbar^2}{2m} (\vec{k} - \vec{G})^2 - \varepsilon \end{cases} C_{\vec{k} - \vec{G}} + \\ + \sum_{\vec{C}'} U_{\vec{G}' - \vec{G}} C_{\vec{k} - \vec{G}'} = 0 \end{cases} \Rightarrow$ Equação de Schroedinger no espaço recíproco: Funções de Bloch e potencial periódico

Representação matricial

$$\begin{bmatrix} \left\{ \frac{\hbar^2}{2m} (\vec{k} - \vec{G}_1)^2 - \varepsilon \right\} & U_{\vec{G}_2 - \vec{G}_1} & \dots & U_{\vec{G}_n - \vec{G}_1} \\ U_{\vec{G}_1 - \vec{G}_2} & \left\{ \frac{\hbar^2}{2m} (\vec{k} - \vec{G}_2)^2 - \varepsilon \right\} & \dots & U_{\vec{G}_n - \vec{G}_2} \\ \vdots \dots & \vdots \dots & \vdots \dots & \vdots \dots \\ \vdots \dots & \vdots \dots & \vdots \dots & \vdots \dots \\ \vdots \dots & \vdots \dots & \vdots \dots & \vdots \dots \\ \vdots \dots & \vdots \dots & \vdots \dots & \vdots \dots \\ U_{\vec{G}_1 - \vec{G}_n} & \vdots \dots & \vdots \dots & \left\{ \frac{\hbar^2}{2m} (\vec{k} - \vec{G}_n)^2 - \varepsilon \right\} \end{bmatrix} \begin{bmatrix} C_{\vec{k} - \vec{G}_1} \\ C_{\vec{k} - \vec{G}_2} \\ \vdots \dots \\ \vdots \dots \\ \vdots \dots \\ C_{\vec{k} - \vec{G}_n} \end{bmatrix} = 0$$

Faixas de Energia: Teorema de Bloch

Esse conjunto de equações, para um valor fixo de \vec{k} na $1^{\underline{a}}$ ZB e para todos os vetores de translação \vec{G} do espaço recíproco, acopla somente os coeficiente C cujos vetores de onda diferem de \vec{k} por um vetor de translação da rede recíproca.

As soluções são superposições de ondas planas contendo o vetor \vec{k} e somente os vetores que diferem de \vec{k} por um vetor de translação do espaço recíproco:

$$\begin{split} \Psi_{\vec{k}}(\vec{r}) &= \sum_{\vec{G}} C_{\vec{k} - \vec{G}} e^{i \, (\vec{k} - \vec{G}) \cdot \vec{r}} = \\ &= e^{i \, \vec{k} \cdot \vec{r}} \left[\sum_{\vec{G}} C_{\vec{k} - \vec{G}} e^{-i \, \vec{G} \cdot \vec{r}} \right] \end{split}$$

onde

$$u_{\vec{k}}(\vec{r}) = u_{\vec{k}}(\vec{r} + \vec{\ell}) = \sum_{\vec{G}} C_{\vec{k} - \vec{G}} e^{-i\vec{G} \cdot \vec{r}}$$

Faixas de Energia: Teorema de Bloch Aproximação de rede vazia (Gás de elétrons livres)

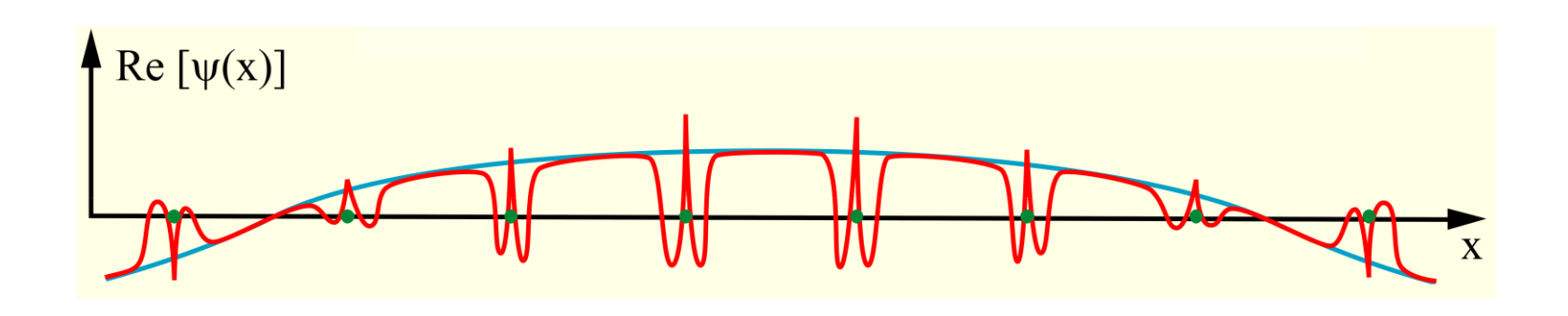
Na aproximação de rede vazia tomamos $U(\vec{r}) = 0$ e, portanto, $U_{\vec{G}'-\vec{G}} = U_0$ é constante e podemos tomar $U_0 = 0$. A eq. de Schrödinger a ser resolvida é

$$\left\{\frac{\hbar^2}{2m}(\vec{k}-\vec{G})^2 - \varepsilon\right\}C_{\vec{k}-\vec{G}} = 0$$

Para um dado \vec{G} tal que $C_{\vec{k}-\vec{G}} \neq 0$, essa eq. tem como solução não trivial

$$\frac{\hbar^2}{2m}(\vec{k} - \vec{G})^2 = \varepsilon$$

$$\Psi_k(x) = e^{ikx}u(x) \quad \text{onde} \quad u(x) = u(x+a)$$
 fator de fase Função periódica da rede



Substituindo k por k+G, onde G são os vetores de translação da rede recíproca, a condição de Bloch fica satisfeita $(e^{i\frac{2\pi}{a}G}=1)$ e k fica restrito à $1^{\underline{a}}$ ZB $(-\frac{\pi}{a} \leq k \leq \frac{\pi}{a})$

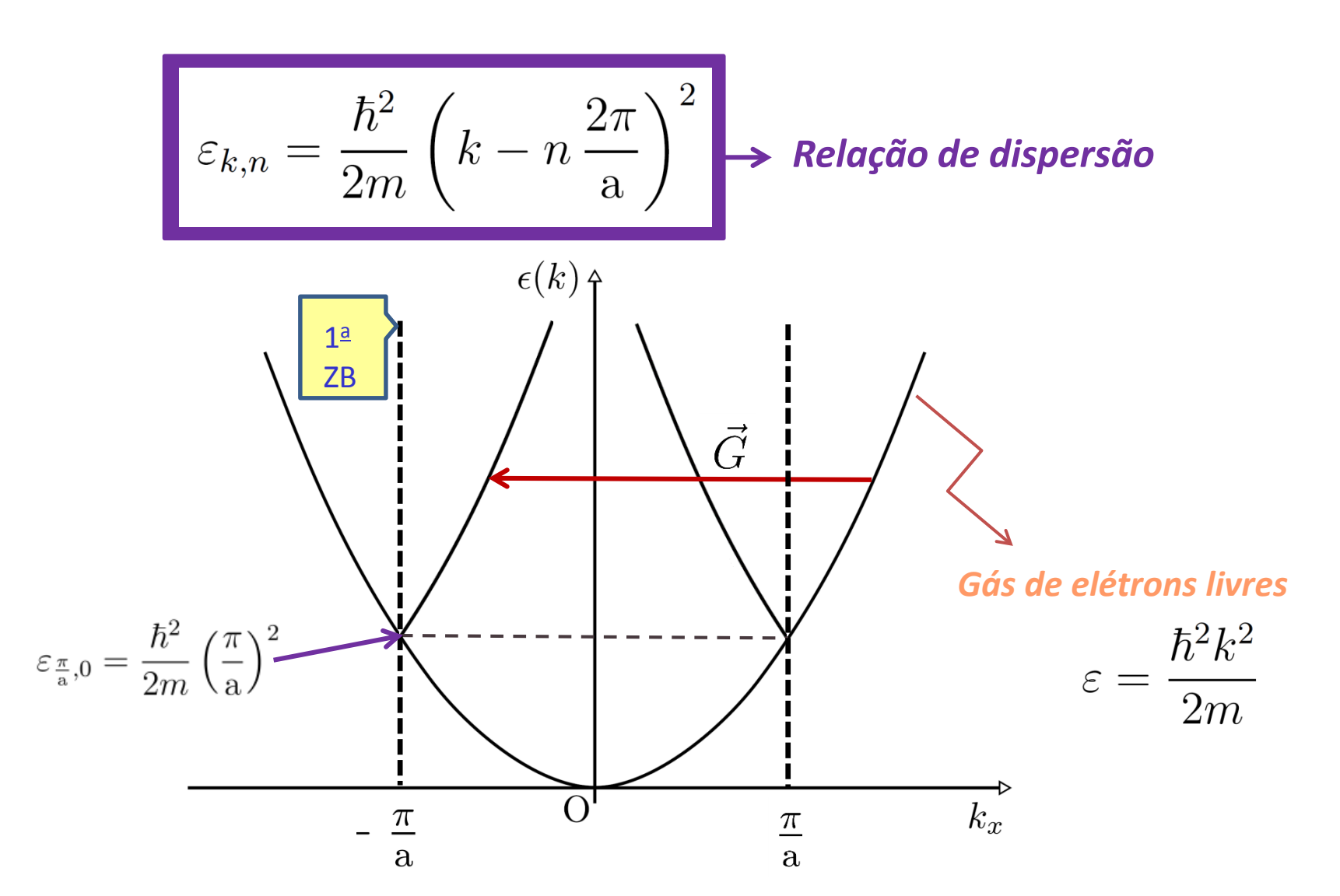
Rede Direta

$$\vec{\mathbf{a}} = \mathbf{a}\,\hat{x}$$
 $\vec{\ell} = m\,\mathbf{a}\,\hat{x}$ $(m = \mathbf{n}^{\underline{\mathbf{o}}} \text{ inteiro})$

Rede Reciproca

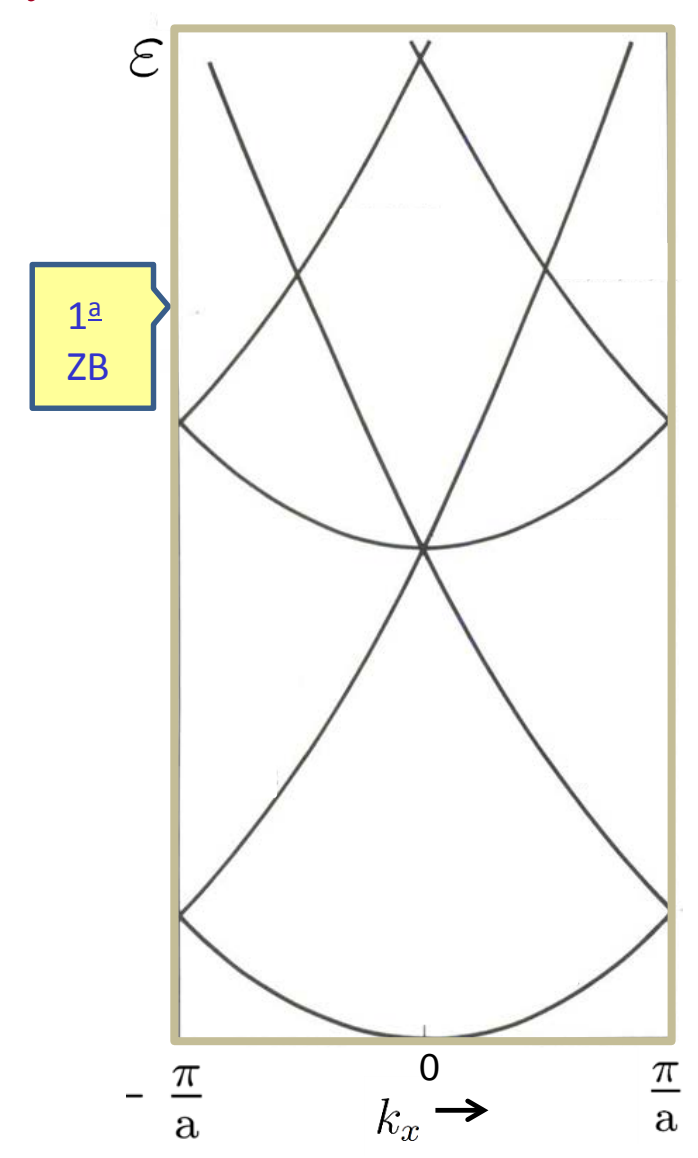
$$\vec{b} = \frac{2\pi}{a} \hat{x}$$
 $\vec{G} = n \frac{2\pi}{a} \hat{x}$ $(n = n^{o} \text{ inteiro})$

Vetores da 1ª ZB:
$$\vec{k}=k_x\hat{x}$$
 com $-\frac{\pi}{a}\leq k_x\leq \frac{\pi}{a}$



$$\varepsilon_{k,n} = \frac{\hbar^2}{2m} \left(k - n \frac{2\pi}{a} \right)^2$$

Relação de dispersão



Lucy V. C. Assali

$$\left\{ \frac{\hbar^2}{2m} (\vec{k} - \vec{G})^2 - \varepsilon \right\} C_{\vec{k} - \vec{G}} + \sum_{\vec{G}'} U_{\vec{G}' - \vec{G}} C_{\vec{k} - \vec{G}'} = 0$$

 $\begin{cases} \frac{\hbar^2}{2m} (\vec{k} - \vec{G})^2 - \varepsilon \end{cases} C_{\vec{k} - \vec{G}} + \\ + \sum_{\vec{C}'} U_{\vec{G}' - \vec{G}} C_{\vec{k} - \vec{G}'} = 0 \end{cases} \Rightarrow$ Equação de Schroedinger no espaço recíproco: Funções de Bloch e potencial periódico

Representação matricial

$$\begin{bmatrix} \left\{ \frac{\hbar^2}{2m} (\vec{k} - \vec{G}_1)^2 - \varepsilon \right\} & U_{\vec{G}_2 - \vec{G}_1} & \dots & U_{\vec{G}_n - \vec{G}_1} \\ U_{\vec{G}_1 - \vec{G}_2} & \left\{ \frac{\hbar^2}{2m} (\vec{k} - \vec{G}_2)^2 - \varepsilon \right\} & \dots & U_{\vec{G}_n - \vec{G}_2} \\ \vdots \dots & \vdots \dots & \vdots \dots & \vdots \dots \\ \vdots \dots & \vdots \dots & \vdots \dots & \vdots \dots \\ \vdots \dots & \vdots \dots & \vdots \dots & \vdots \dots \\ \vdots \dots & \vdots \dots & \vdots \dots & \vdots \dots \\ U_{\vec{G}_1 - \vec{G}_n} & \vdots \dots & \vdots \dots & \left\{ \frac{\hbar^2}{2m} (\vec{k} - \vec{G}_n)^2 - \varepsilon \right\} \end{bmatrix} \begin{bmatrix} C_{\vec{k} - \vec{G}_1} \\ C_{\vec{k} - \vec{G}_2} \\ \vdots \dots & \vdots \dots \\ \vdots \dots & \vdots \dots \\ C_{\vec{k} - \vec{G}_n} \end{bmatrix} = 0$$

Para o caso degenerado, supondo que para um dado \vec{k} e para todo $\vec{G}' \neq \vec{G}_1$ e \vec{G}_2 , tal que

$$|\varepsilon_{\vec{k}-\vec{G}_1}^0 - \varepsilon_{\vec{k}-\vec{G}'}^0| \gg U$$

$$|\varepsilon_{\vec{k}-\vec{G}_2}^0 - \varepsilon_{\vec{k}-\vec{G}'}^0| \gg U$$

$$|\varepsilon_{\vec{k}-\vec{G}_1}^0 - \varepsilon_{\vec{k}-\vec{G}_2}^0| \approx U$$

teremos que os únicos termos diferentes de zero fora da diagonal, na equação matricial serão $U_{\vec{G}_2-\vec{G}_1}$ e $U_{\vec{G}_1-\vec{G}_2}$ e devemos resolver a equação

$$\begin{bmatrix} \left\{ \frac{\hbar^2}{2m} (\vec{k} - \vec{G}_1)^2 - \varepsilon \right\} & U_{\vec{G}_2 - \vec{G}_1} \\ U_{\vec{G}_1 - \vec{G}_2} & \left\{ \frac{\hbar^2}{2m} (\vec{k} - \vec{G}_2)^2 - \varepsilon \right\} \end{bmatrix} \begin{bmatrix} C_{\vec{k} - \vec{G}_1} \\ C_{\vec{k} - \vec{G}_2} \end{bmatrix} = 0$$

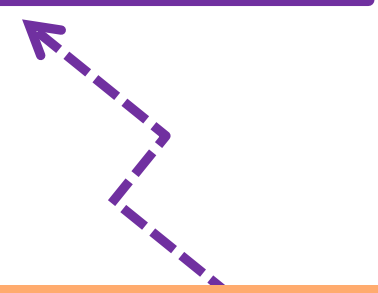
Para o caso bidegenerado onde, na aproximação de rede vazia, os autovalores eram ε^o , a solução não trivial da equação é:

$$\varepsilon = \varepsilon^o \pm |U_{\vec{G}_1 - \vec{G}_2}|$$

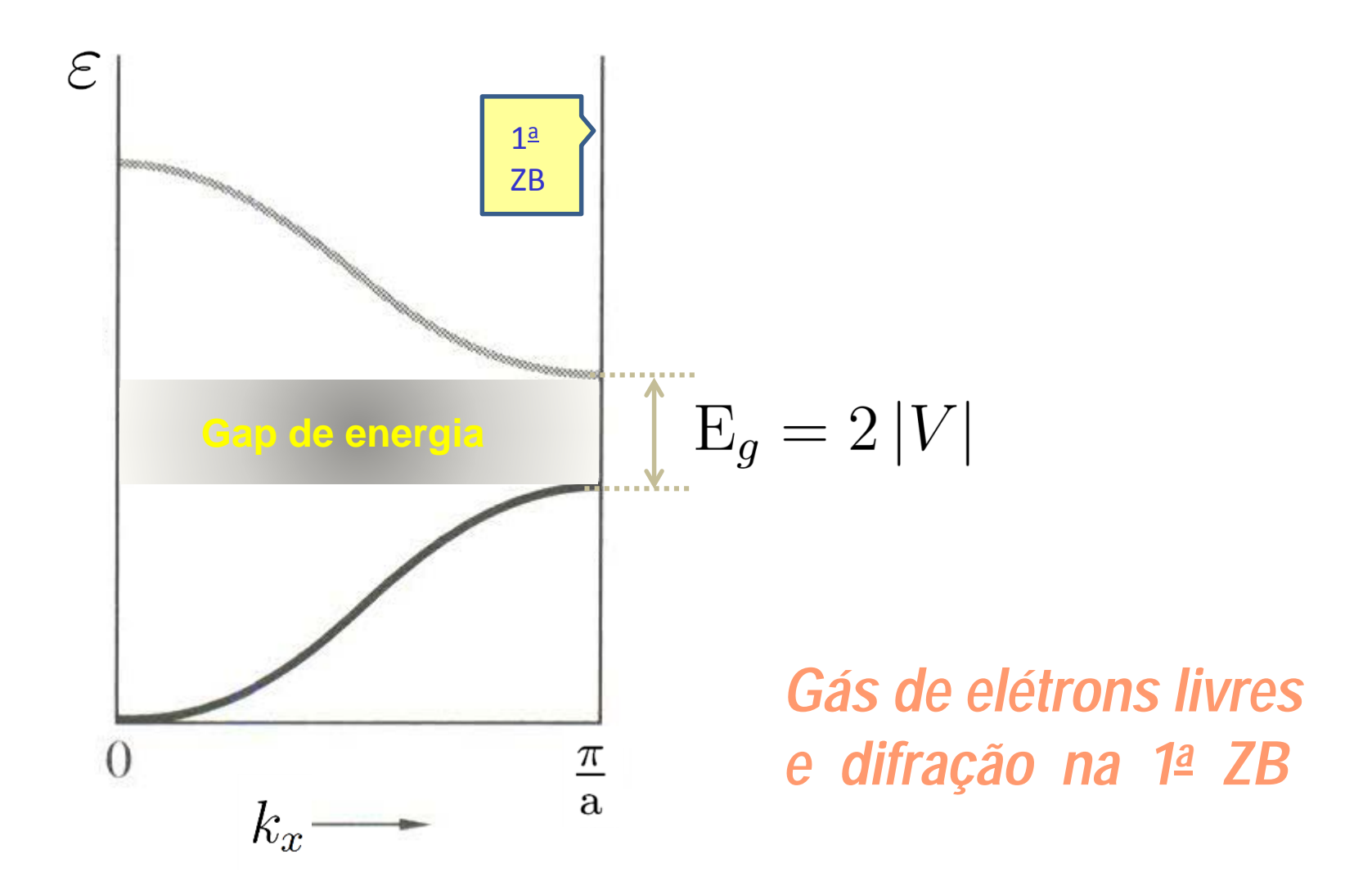
ou

$$\varepsilon_{+} = \varepsilon^{o} + |V| + \varepsilon_{-} = \varepsilon^{o} - |V|,$$

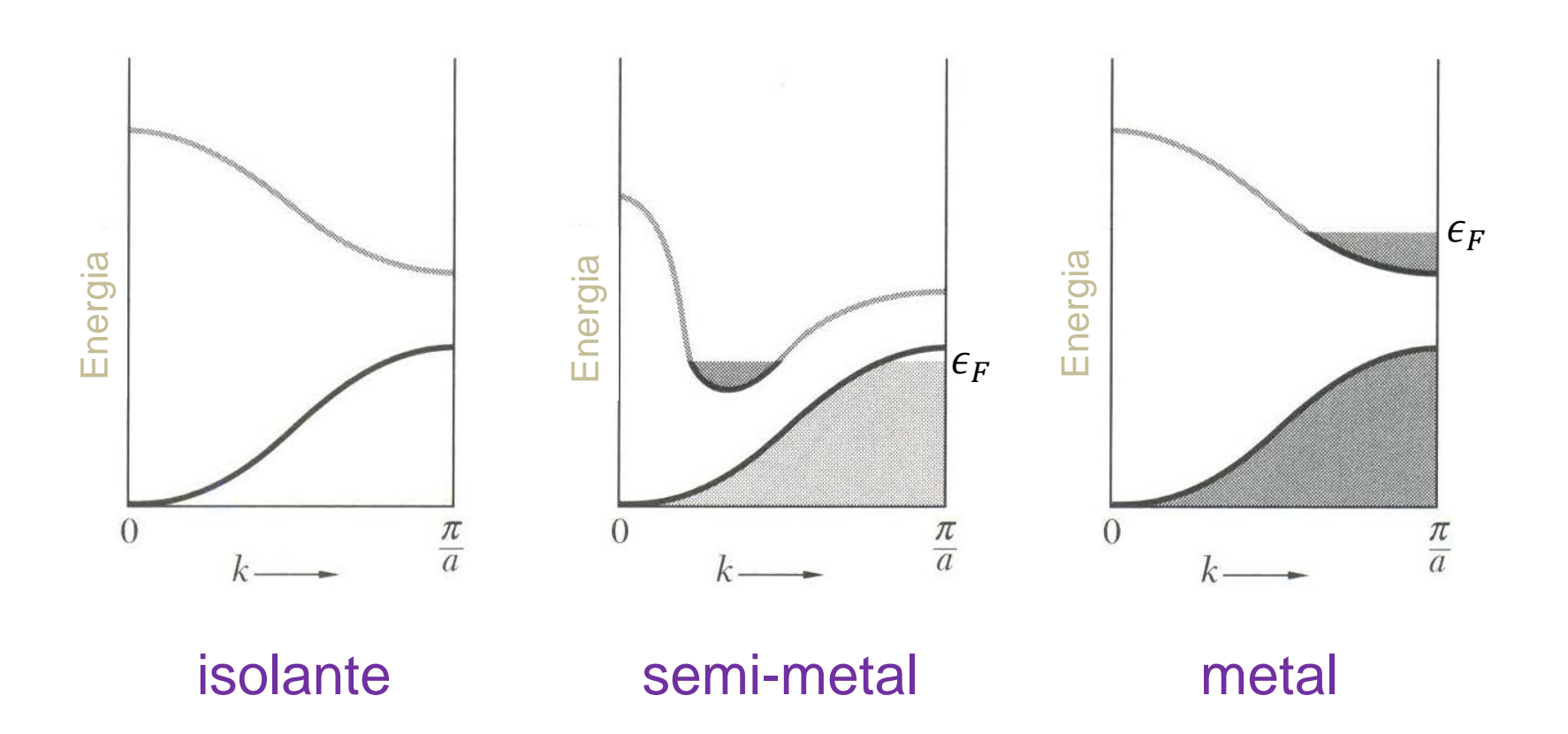
onde
$$U_{\vec{G}_1 - \vec{G}_2} = V$$



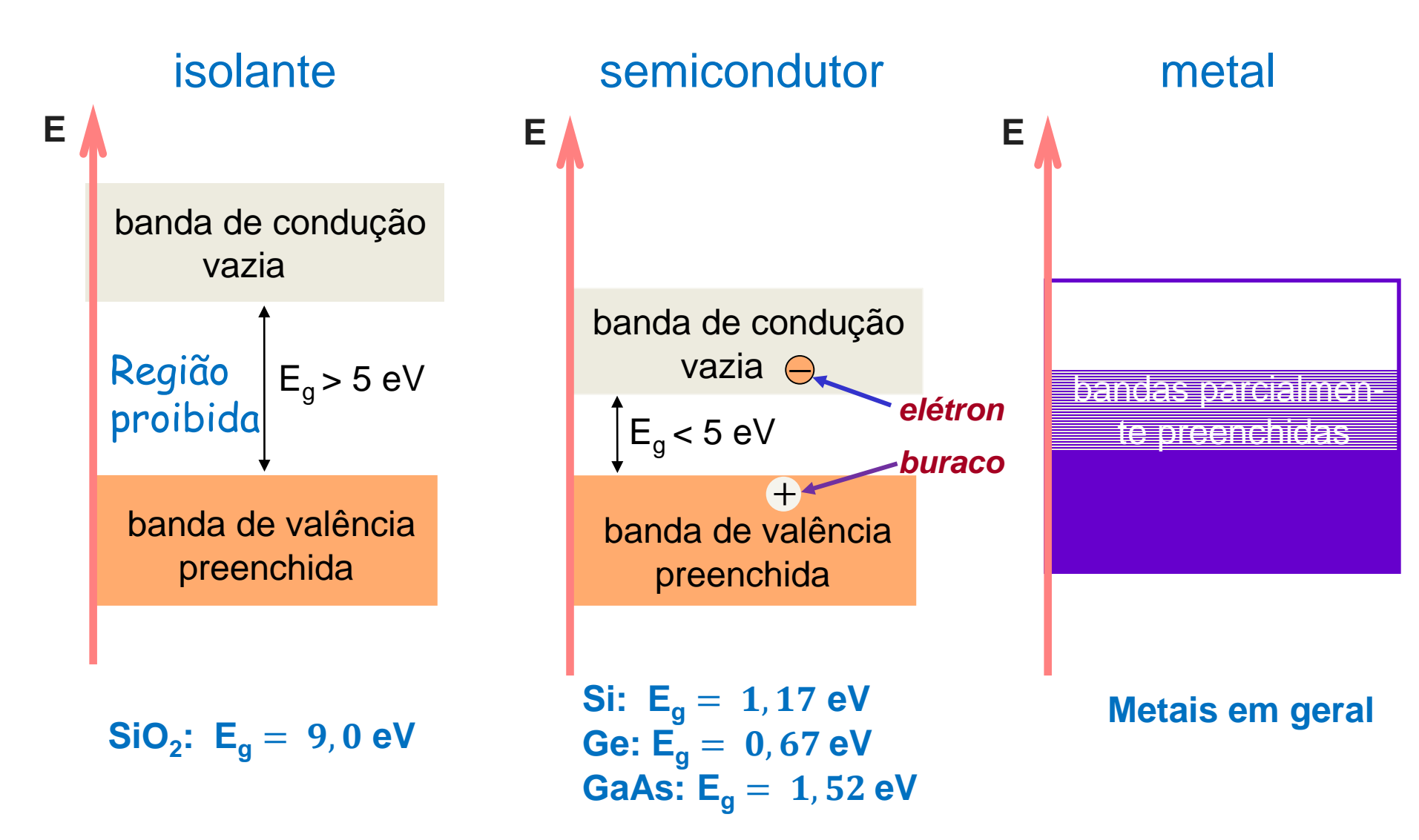
Quebra na degenerescência da energia



Faixas de Energia: Classificação dos sólidos



Estrutura de bancas de energia: Classificação dos sólidos



Lucy V. C. Assali

Faixas de Energia: Estrutura de bancas do diamante

